

Izotioxygeny (XII)

Príprava a infračervené absorpcné spektrá *m*-acyloxyfenylizotioxygenátov a *p*-acyloxyfenylizotioxygenátov

P. KRISTIÁN, K. ANTOŠ, Š. KOVÁČ

Katedra organickej chémie Slovenskej vysokej školy technickej, Bratislava

Ako vyplýva z našej predchádzajúcej práce [1], aromatické izotioxygeny (skrátene ITK) sa vyznačujú vysokou reaktivitou, na ktorú poukazujú aj niektoré kvantovochemické výpočty [2]. V dôsledku toho nebolo možné uskutočniť reakcie na aromatickom jadre bez atakovania samotnej izotioxygenatej skupiny, najmä pri kationoidnej substitučnej reakcii. Doterajšie údaje v literatúre poukazujú jedine na možnosť alkylácie *m*-hydroxyfenyl-ITK alkylhalogenidmi [3—6]. Niektoré z uvedených derivátov boli patentované ako účinné prostriedky proti helmintom [3]. Doteraz nebola opísaná priama acylácia *m*-hydroxyfenyl-ITK a *p*-hydroxyfenyl-ITK. Z acyloxyfenyl-ITK bol sice pripravený *p*-acetyloxyfenyl-ITK [7] a *m*-acetyloxyfenyl-ITK [8], avšak iným postupom.

Už r. 1946 W. H. Davies a W. H. Sexton [8] zistili význačnú antifungálnu účinnosť *p*-acetyloxyfenyl-ITK a *m*-acetyloxyfenyl-ITK, ktoré zasadili medzi najúčinnejšie dovtedy známe fungicídy.

Úlohou tejto práce bolo zistiť možnosti priamej acylácie *m*-hydroxyfenyl-ITK a *p*-hydroxyfenyl-ITK rozličnými typmi acylhalogenidov, ako aj zmerať a urobiť rozbor ich infračervených absorpcných spektier.

Experimentálna časť

Príprava m-acyloxyfenyl-ITK a *p*-acyloxyfenyl-ITK

0,1 mól hydroxyfenyl-ITK a 0,1 mól acylchloridu sa pol hodiny zahrieva pod spätným chladičom na vriacom vodnom kúpeli. Potom sa reakčný produkt rozpustí v 300 dieloch éteru a pretrepe sa 2×20 dielmi 5 % vodného roztoku KOH, dalej 2×30 dielmi vody. Éterický roztok sa vysuší bezvodým $MgSO_4$. Pridá sa 1 diel aktívneho uhlia a filtriuje sa. Éter sa oddestiluje z vodného kúpela a získaný produkt sa destiluje vo vákuu, resp. sa prekryštalizuje z vhodného rozpúšťadla.

Spektrálne merania

Infračervené absorpcné spektrá izotioxygenátov sa namerali na dvojlúčovom spektrofotometri UR 10 v oblasti $3600—400\text{ cm}^{-1}$. V oblasti $1800—670\text{ cm}^{-1}$ sa použil hranol z NaCl a v oblasti $670—400\text{ cm}^{-1}$ hranol z KBr. Infračervené absorpcné spektrá *m*-acetyl-oxymfenyl-ITK a butyryloxyfenyl-ITK sa v oblasti $1800—400\text{ cm}^{-1}$ namerali tak, že malé množstvo látky sa dalo medzi dve okienka z KBr, pričom sa vytvoril film o hrúbke

Tabuľka 1

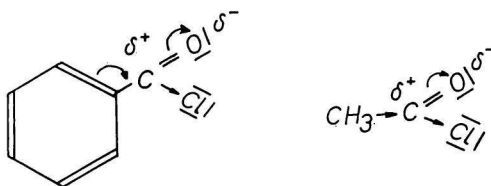
Zlúčenia	M	B. t./b. v.	n_D^{20}	Sumárny vzorec	Analýza		Výtažok (%)
					% N	% S	
<i>m</i> -acetoxyfenyl-ITK	193,214	103/0,5 tor	1,6129	C ₉ H ₇ O ₂ NS	7,24	7,09	16,65
<i>m</i> -butyroloxyfenyl-ITK	221,256	133/1,2 tor	1,5855	C ₁₁ H ₁₁ O ₂ NS	6,33	6,10	14,49
<i>m</i> -benzoyloxyfenyl-ITK	255,280	61 °C (éter)	—	C ₁₄ H ₉ O ₂ NS	5,48	5,46	12,51
<i>m</i> -nikotinoyloxyfenyl-ITK	256,270	72 °C (éter)	—	C ₁₃ H ₈ O ₂ N ₂ S	10,54	10,74	12,51
<i>p</i> -acetoxyfenyl-ITK	193,214	34 °C (petroléter)	—	C ₉ H ₇ O ₂ NS	7,24	7,13	16,59
<i>p</i> -butyroloxyfenyl-ITK	221,256	23 °C (petroléter)	—	C ₁₁ H ₁₁ O ₂ NS	6,33	6,25	14,49
<i>p</i> benzoyloxyfenyl-ITK	255,280	66 °C (petroléter)	—	C ₁₄ H ₉ O ₂ NS	5,48	5,49	12,51
<i>p</i> -nikotinoyloxyfenyl-ITK	256,270	82 °C (éter)	—	C ₁₃ H ₈ O ₂ N ₂ S	10,54	10,91	12,51

približne 0,01 mm; *p*-butyroloxyfenyl-ITK sa meral v CHCl₃ a *p*-acetoxyloxyfenyl-ITK, *m*-benzoyloxyfenyl-ITK, *p*-benzoyloxyfenyl-ITK, *m*-nikotinoyloxyfenyl-ITK, *p*-nikotinoyloxyfenyl-ITK v diskoch z KBr. V oblasti nad 1800 cm⁻¹ sa infračervené absorpcné spektrá všetkých izotioxygenátov merali v CHCl₃ v kyvetách z NaCl o hrúbke 0,187 mm. Rozpúšťadlá sa kompenzovali kyvetou z NaCl o hrúbke 0,187 mm.

Výsledky a diskusia

Syntetizované izotioxygenáty a ich vlastnosti sú uvedené v tab. 1. Z výsledkov v tab. 1 vyplýva, že *m*-acyloxyfenyl-ITK a *p*-acyloxyfenyl-ITK s rôznou acylovou skupinou (alifatickou, aromatickou a heterocyklickou) možno získať v pomerne dobrých výtažkoch priamym pôsobením acylhalogenídu na príslušný hydroxyfenyl-ITK.

Ako vidieť z tab. 1, výtažky vzniknutých acyloxyfenyl-ITK sú pri acetoxyfenyl-ITK a butyroloxyfenyl-ITK značne vyššie v porovnaní s benzoyloxyfenyl-ITK a nikotinoyloxyfenyl-ITK v dôsledku toho, že benzoylchlorid je menej reaktívny než acetylchlorid.



Kedže ide o bimolekulovú reakciu, dochádza k vytláčaniu chlóru acylhalogenidu voľným elektrónovým párom kyslíkového atómu fenolickej skupiny. Reaktívnosť acylhalogenidov súvisí s veľkosťou elektrónovej medzery na karbonylovom uhlíkovom atóme [9—11]. Elektrónová medzera na karbonylovom uhlíku, zapríčinená $-M$ efektom kyslíkového atómu a $-I$ efektom chlóru, je v menšej miere kompenzovaná $+I$ efektom alkylovej skupiny než $+M$ efektom aromatického jadra.

Ďalej musíme vziať do úvahy aj druhú reagujúcu zložku. *p*-Hydroxyfenyl-ITK sa bude uvedenými acylačnými činidlami acylovať ľahšie než *m*-hydroxyfenyl-ITK v dôsledku väčšej elektrónovej hustoty na kyslíkovom atóme fenolickej skupiny. Vyplýva to z uplatnenia elektrónakceptórneho účinku skupiny NCS, ktorý sa prejavuje v zvýšenej miere v *m*-polohe než v *p*-polohe, čo potvrdzujú Hammetove σ konštanty, stanovené pre skupinu NCS, pri kyselinách benzoových [12] ($\sigma_{m(NCS)} = 0,49$; $\sigma_{p(NCS)} = 0,38$).

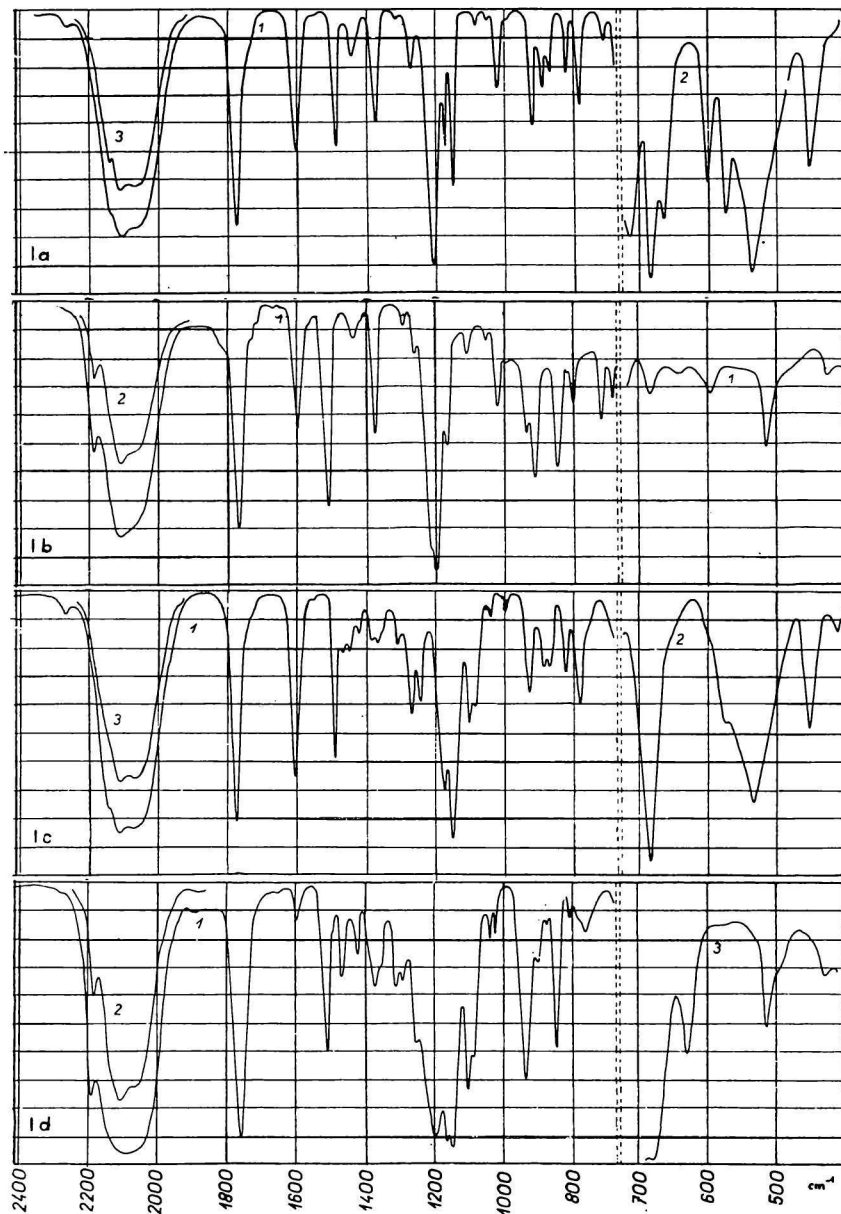
Infračervené absorpčné spektrá izotioikyanátov sú uvedené na obr. Ia—d a obr. IIa—d a ich charakteristické vibrácie v tab. 2.

Oblast 3600—2400 cm⁻¹

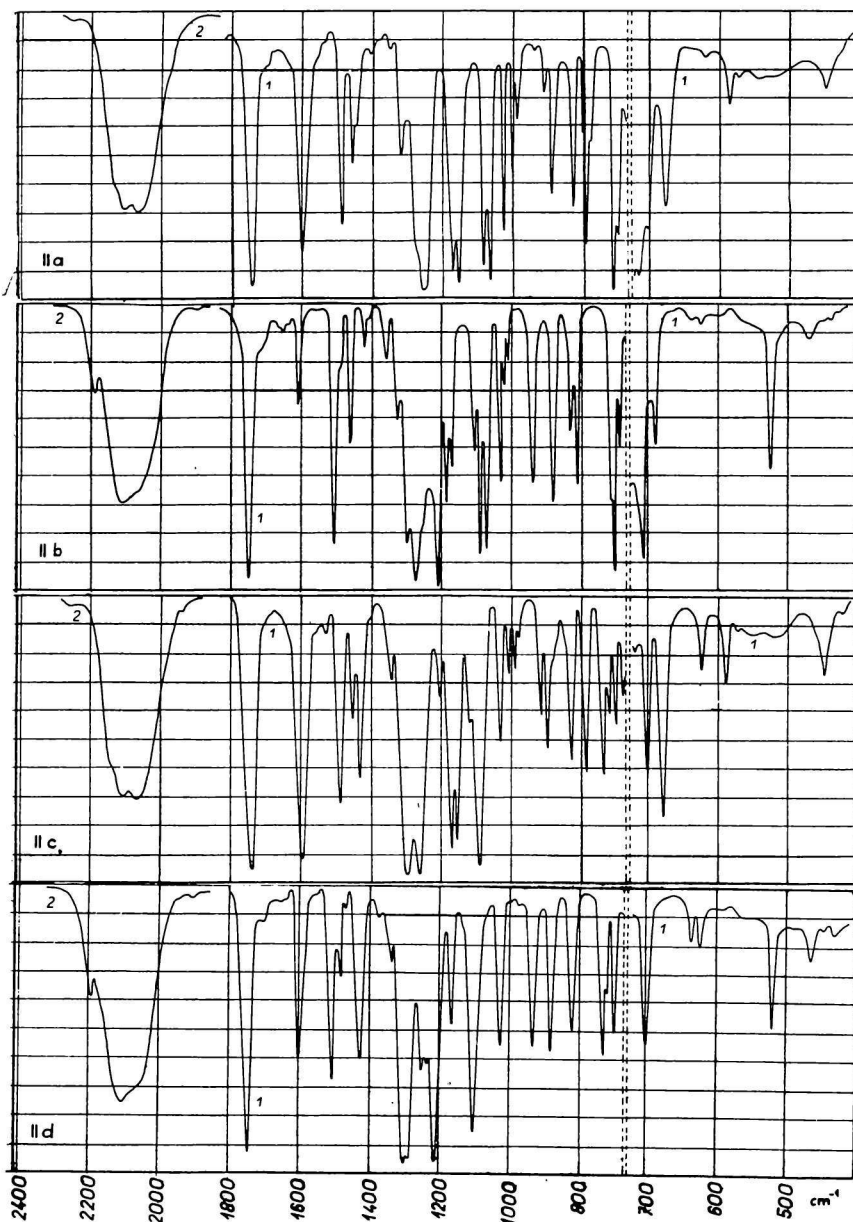
V tejto oblasti možno pozorovať väčší počet absorpčných pásov o rôznej intenzite, ktoré prislúchajú valenčným vibráciám väzieb C—H v skupinách —CH₂— a —CH₃, ako aj vibráciám väzieb C—H aromatického systému [13—15].

Oblast 2400—1800 cm⁻¹

Veľmi intenzívny absorpčný pás s maximom absorpcie okolo 2100 cm⁻¹ na spektrách všetkých izotioikyanátov svedčí o prítomnosti skupín NCS. Tento absorpčný pás prislúcha valenčným asymetrickým vibráciám väzieb N=C=S [13, 14]. Poloha tohto absorpčného pásu je pri všetkých ITK s výnimkou *m*-benzoyloxyfenyl-ITK a *m*-nikotinoyloxyfenyl-ITK približne rovnaká ($\nu_{NCS}^* \sim 2113\text{ cm}^{-1}$). Poloha absorpčného pásu asymetrických valenčných vibrácií väzieb NCS *m*-benzoyloxyfenyl-ITK a *m*-nikotinoyloxyfenyl-ITK je pri $\sim 2070\text{ cm}^{-1}$. Vyplýva z toho, že pri skupine NCS viazanéj v *p*-polohe pôsobia oproti sebe $+M$ efekty skupiny NCS a kyslíkového atómu.



Obr. 1. a) *m*-Acetoxyphenyl-ITK: 1. film $\sim 0,01$ mm; 2. film 0,043 mm; 3. 9,65 g/l CHCl_3 , kyveta 0,187 mm. — b) *p*-Acetoxyphenyl-ITK: 1. 3,5 mg/g KBr; 2. 9,65 g/l CHCl_3 , kyveta 0,187 mm. — c) *m*-Butyryloxyphenyl-ITK: 1. film $\sim 0,01$ mm; 2. film 0,043 mm; 3. 17,0 g/l CHCl_3 , kyveta 0,187 mm. — d) *p*-Butyryloxyphenyl-ITK: 1. 50 g/l CHCl_3 , kyveta 0,187 mm; 2. 17 g/l CHCl_3 , kyveta 0,187 mm; 3. 8,3 g/l CHCl_3 , kyveta 0,624 mm.



Obr. 2. a) *m*-Benzoyloxyfenyl-ITK: 1. 3,5 mg/g KBr; 2. 17,0 g/l CHCl_3 , kyveta 0,187 mm. — b) *p*-Benzoyloxyfenyl-ITK: 1. 3,5 mg/g KBr; 2. 17,0 g/l CHCl_3 , kyveta 0,187 mm. — c) *m*-Nikotinoyloxyfenyl-ITK: 1. 3,5 mg/g KBr; 2. 4 g/l CHCl_3 , kyveta 1,042 mm. — d) *p*-Nikotinoyloxyfenyl-ITK: 1. 3,5 mg/g KBr; 2. 17 g/l CHCl_3 , kyveta 0,187 mm.

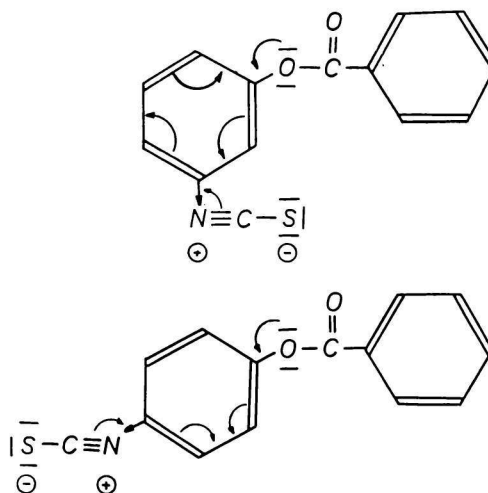
Tabuľka 2

Charakteristické vibrácie aromatických izotiocyanátov (cm^{-1})

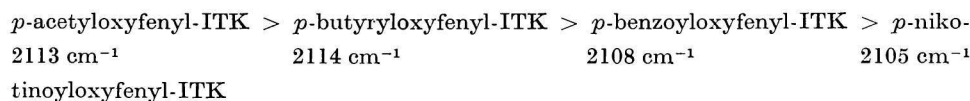
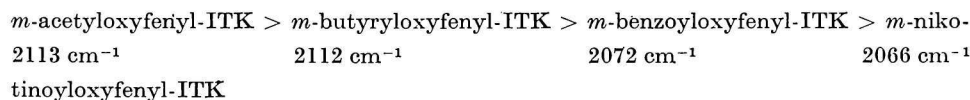
ITK	ν_{sym}^* NCS	$\nu_{asym}^* \text{ NCS}$ CHCl_3	$\nu_{\text{C=O}}^*$	$\nu_{\text{C-H}}^*$ (alif)	$\nu_{\text{C-H}}^*$ (arom)
<i>m</i> -acetoxyfenyl-	924 (str)	2113 (vs) 2065 (výst) 2143 (výst) 2260 (vsl)	1768 (vs)	2850 (sl) 1490 (s) 1370 (s)	3080 (s) 3025 (sl) 2990 (výst) 1600 (s)
<i>p</i> -acetoxyfenyl-	935 (str)	2113 (vs) 2075 (výst) 2189 (sl) 2189 (sl)	1770 (vs)	2940 (str) 2880 (str) 1440 (sl) 1375 (s)	3040 (s) 3020 (s) 1600 (s)
<i>m</i> -butyroxyfenyl-	930 (str)	2112 (vs) 2065 (výst) 2145 (výst) 2260 (vsl)	1770 (vs)	2940 (s) 2880 (s) 1490 (s) 1370 (s)	3080 (s) 3040 (sl) 2970 (vs) 1608 (s)
<i>p</i> -butyroxyfenyl-	936 (vs)	2114 (vs) 2070 (výst) 2190 (str)	1765 (vs)	2930 (str) 2880 (str) 1475 (str) 1370 (str)	3015 (str) 2975 (s) 1598 (str)
<i>m</i> -benzoyloxyfenyl-	940 (sl)	2072 (vs) 2110 (výst) 1970 (výst) 2260 (vsl)	1748 (vs)		3080 (str) 3035 (výst) 3015 (s) 1603 (vs)
<i>p</i> -benzoyloxyfenyl-	935 (vs)	2108 (vs) 2073 (výst) 2140 (výst) 1970 (vsl)	1750 (vs)		3080 (str) 3035 (výst) 3015 (s) 1600 (vs)
<i>m</i> -nikotinoyloxyfenyl-	920 (s)	2066 (vs) 2103 (výst) 2140 (výst) 2226 (výst)	1750 (vs)		3015 (s) 2995 (výst) 1610 (s)
<i>p</i> -nikotinoyloxyfenyl-	938 (s)	2105 (vs) 2070 (výst) 2189 (výst) 1930 (výst)	1747 (vs)		3015 (s) 2995 (s) 1600 (s)

s = silný; vs = veľmi silný; str = stredný; sl = slabý; vsl = veľmi slabý; výst = výstupok.

acyloxsukupiny, v dôsledku čoho sa $+M$ efekt skupiny NCS v *p*-polohe nemôže prejaviť natol'ko ako v *m*-polohe.



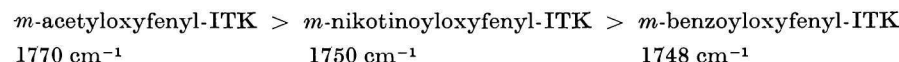
Z týchto príčin je pri *p*-substituovaných aromatických ITK na skupine NCS väčšia elektrónová hustota, ktorá sa na infračervených absorpčných spektrách v porovnaní s *m*-substituovanými ITK prejaví posunom absorpčného pásu *asym* NCS k vyšším vlnočtom:



Oblasť $1800—400 \text{ cm}^{-1}$

Táto oblasť je charakteristická už pre samotné acyloxyaromatické zlúčeniny. Je v nej väčší počet absorpčných pásov, prislúchajúcich valenčným a deformačným vibráciám väzieb C—H, C—O, skeletálnym vibráciám a iným. Na spektrách všetkých ITK sú v oblasti $1800—1700 \text{ cm}^{-1}$ intenzívne absorpčné pásy, ktoré prislúchajú valenčným vibráciám väzieb C=O [16, 17].

Aromatický zvyšok, naviazaný na karbonylovej skupine, zapríčinuje posun valenčných vibrácií väzieb C=O k nižším vlnočtom v porovnaní s acyloxyphenyl-ITK, ktoré majú alifatický zvyšok naviazaný na karbonylovej skupine:



Z uvedeného vyplýva, že aromatické jadro, naviazané na karbonylovej skupine, uplatňuje sa v tomto prípade svojím $+M$ efektom, ktorý zapríčinuje

posun π elektrónov skupiny C=O, čím sa väzba C=O predĺžuje. Prejavuje sa to aj na infračervenom absorpčnom spektri posunom valenčných vibrácií väzieb C=O k nižším vlnočtom [17].

V oblasti 1600 cm^{-1} sú na spektrách intenzívne absorpčné pásy, ktoré prislúchajú valenčným vibráciám väzieb C—H aromatického systému. Poloha týchto pásov je na spektrách všetkých izotioxygenátov približne rovnaká.

V oblasti $900\text{--}1000\text{ cm}^{-1}$ sú na spektrách izotioxygenátov absorpčné pásy o rôznej intenzite, ktoré prislúchajú symetrickým vibráciám skupiny NCS [15].

Dakujeme doc. inž. O. Liškovi z Katedry analytickej chémie SVŠT v Bratislave za vykonanie elementárnych analýz.

Súhrn

Vypracovala sa nová metóda na priamu acyláciu *m*-hydroxyfenyl-ITK a *p*-hydroxyfenyl-ITK s rozličnými typmi acylhalogenidov. Uvedenou metodou sa pripravili tieto izotioxygenáty: *m*-acetoxyfenyl-ITK a *p*-acetoxyfenyl-ITK, *m*-butyryloxyfenyl-ITK a *p*-butyryloxyfenyl-ITK, *m*-benzoyloxyfenyl-ITK a *p*-benzoyloxyfenyl-ITK, *m*-nikotinoyloxyfenyl-ITK a *p*-nikotinoyloxyfenyl-ITK. Výtažky poukazujú na to, že reakcia prebieha výhodnejšie s príslušnými alifatickými acylhalogenidmi než s acylhalogenidmi aromatického a heterocyklického typu, čo súvisí s ich rozdielnou reaktivitou. Takisto z výtažkov vyplýva zvýšená reaktivita *m*-hydroxyfenyl-ITK v porovnaní s *p*-hydroxyfenyl-ITK, čo je v súlade s elektrónovým vplyvom skupiny NCS na aromatické jadro.

Uvádzajú sa infračervené absorpčné spektrá spomínaných izotioxygenátov, zmerané na dvojlúčovom spektrofotometri UR 10 v oblasti $3600\text{--}400\text{ cm}^{-1}$. Zo spektier vyplýva, že absorpčné pásy $\nu_{asym\ NCS}^*$ sú v prípade *m*-benzoyloxyfenyl-ITK a *m*-nikotinoyloxyfenyl-ITK posunuté k nižším vlnočtom ($\nu_{asym\ NCS}^* \sim 2070\text{ cm}^{-1}$) v porovnaní s ostatnými izotioxygenátmi ($\nu_{asym\ NCS}^* \sim 2110\text{ cm}^{-1}$).

Absorpčné pásy valenčných vibrácií väzieb CO v prípade acyloxyfenyl-ITK s alifatickým acylovým zvyškom sú posunuté k vyšším vlnočtom ($\nu_{C=O}^* \sim 1770\text{ cm}^{-1}$) v porovnaní s acyloxyfenyl-ITK s aromatickou acylovou skupinou ($\nu_{C=O}^* \sim 1750\text{ cm}^{-1}$).

Diskutuje sa o príčinách týchto posunov v obidvoch uvedených prípadoch.

ИЗОТИОЦИАНАТЫ (XII)
ПОЛУЧЕНИЕ И ИНФРАКРАСНЫЕ СПЕКТРЫ
m- И *n*-АЦИЛОКСИФЕНИЛИЗОТИОЦИАНАТОВ

П. Кристиан, К. Антош, Ш. Kováč

Кафедра органической химии Словацкого политехнического института,
Братислава

Был разработан новый метод прямого ацилирования *m*- и *n*-гидроксифенилизотиоцианатов с различными типами ацилгалогенидов. Этим методом получились следующие изотиоцианаты: *m*- и *n*-ацетилоксифенилизотиоцианат, *m*- и *n*-бутирилоксифенилизотиоцианат, *m*- и *n*-бензоилоксифенилизотиоцианат и *m*- и *n*-никотиноилоксифенилизотиоцианат. Выходы свидетельствуют о том что реакция протекает выгоднее с соответствующим алифатическим ацилгалогенидами, чем с ацилгалогенидами ароматического и гетероциклического типов, что находится в связи с их различной реактивностью. Из выходов также вытекает повышенная реактивность *m*-гидроксифенилизотиоцианата относительно *n*-гидроксифенилизотиоцианата, что находится в согласии с влиянием электронов NCS группы на ароматическое ядро.

В работе также приводятся инфракрасные абсорбционные спектры приведенных изотиоцианатов, снятых на двухлучевом спектрофотомере UR 10 в области 3600—400 см^{-1} . Из спектров вытекает, что абсорбционные полосы ν_{acim}^* NCS в случае *m*-бензоилоксифенилизотиоцианата и *m*-никотиноилоксифенилизотиоцианата, смешены к низшим волновым числам ($\nu_{\text{acim}}^* \text{NCS} \sim 2070 \text{ см}^{-1}$) в сравнении с остальными изотиоцианатами ($\nu_{\text{acim}}^* \text{NCS} \sim 2110 \text{ см}^{-1}$).

Абсорбционные полосы валентных колебаний связей CO в случае ацилоксифенилизотиоцианатов с алифатическим ацильным остатком смешены к высшим волновым числам ($\nu_{\text{C=O}}^* \sim 1770 \text{ см}^{-1}$) в сравнении с ацилоксифенилизотиоцианатами с ароматической ацильной группой ($\nu_{\text{C=O}}^* \sim 1750 \text{ см}^{-1}$).

Дискутируются причины этих смещений в обоих приведенных случаях.

ISOTHIOCYANSÄUREESTER (XII)
HERSTELLUNG UND INFRAROTABSORPTIONSSPEKTREN
VON *m*- UND *p*-ACYLOXYPHENYLISOTHIOCYANATEN

P. Kristián, K. Antoš, Š. Kováč

Lehrstuhl für organische Chemie an der Slowakischen Technischen Hochschule,
Bratislava

Es wurde eine neue Methode zur direkten Acylierung der *m*- und *p*-Hydroxyphenylisothiocyanate mit verschiedenen Typen von Acylhalogeniden ausgearbeitet. Mittels dieser Methode wurden folgende Isothiocyanäureester hergestellt: *m*- und *p*-Acetoxyphenylisothiocyanat, *m*- und *p*-Butyroxyphenylisothiocyanat, *m*- und *p*-Benzoyloxyphenylisothiocyanat, *m*- und *p*-Nikotinoyloxyphenylisothiocyanat. Die Ausbeuten deuten auf einen günstigeren Reaktionsverlauf bei aliphatischen Acylhalogeniden als im Falle von Acylhalogeniden des aromatischen und heterocyclischen Typus. Auf Grund

der Ausbeuten lässt sich auf die erhöhte Reaktivität von *m*-Hydroxyphenylisothiocyanat gegenüber *p*-Hydroxyphenylisothiocyanat schliessen; dies ist im Einklang mit der vorausgesetzten Einwirkung der NCS-Gruppe auf die Elektronendichte des aromatischen Kerns.

Infrarotsorptionsspektren der angeführten Isothiocyanäureester wurden im Bereich 3600—400 cm⁻¹ ermittelt. Die Absorptionsbanden ν_{asym}^* NCS sind bei *m*-Benzoyloxyphenylisothiocyanat und *m*-Nikotinoyloxyphenylisothiocyanat ($\nu_{asym}^* \text{ NCS} \sim 2070 \text{ cm}^{-1}$) im Vergleich mit anderen Isothiocyanaten ($\nu_{asym}^* \text{ NCS} \sim 2110 \text{ cm}^{-1}$) zu den niederen Wellenzahlen verschoben.

Die Absorptionsbanden der Valenzschwingungen der CO-Bindungen sind im Falle vom Acyloxyphenylisothiocyanaten ($\nu_{C=O}^* \sim 1770 \text{ cm}^{-1}$) mit aliphatischer Acylgruppe gegenüber den Acyloxyphenylisothiocyanaten mit aromatischer Acylgruppe ($\nu_{C=O}^* \sim 1750 \text{ cm}^{-1}$) nach höheren Wellenzahlen verschoben.

Die Ursachen dieser Verschiebungen von Absorptionsbanden werden diskutiert.

LITERATÚRA

1. Vlachová D., Zahradník R., Antoš K., Kristián P., Hulka A., *Collection* **27**, 2826 (1962).
2. Zahradník R., Vlachová D., Koutecký J., *Collection* **27**, 2337 (1962).
3. Hoffmann F-La Roche, Švajč. pat. 283 652 (1952).
4. Whitaker W. D., Brit. pat. 673 798 (1950).
5. Hoffmann F-La Roche, Švajč. pat. 279 109 (1952).
6. Spiegelberg H., Rey-Bellet G., U. S. pat. 2 595 723 (1952).
7. Kalekhoff F. A., *Ber.* **16**, 1831 (1883).
8. Davies W. H., Sexton W. H., *Biochem. J.* **40**, 331 (1946).
9. Norris F. J., Ware W., *J. Am. Chem. Soc.* **61**, 1418 (1939).
10. Norris F. J., Young L., *J. Am. Chem. Soc.* **57**, 1420 (1935).
11. Kováč Š., *Chem. zvesti* **8**, 659 (1954).
12. Kristián P., Antoš K., Vlachová D., Zahradník R., *Collection* **28**, 1651 (1963).
13. Badger R. M., *J. Chem. Phys.* **5**, 178 (1937).
14. Ham N. S., Willis J. B., *Spectrochim. Acta* **16**, 279 (1960).
15. Kristián P., Kováč Š., Antoš K., Hulka A., *Chem. zvesti* **16**, 542 (1962).
16. Thompson M. V., Jameson D. A., *Spectrochim. Acta* **13**, 236 (1958).
17. Brooks C. J., Eglinton G., Morman J. F., *J. Chem. Soc.* **1961**, 661.

.Do redakcie došlo 17. 5. 1963

Adresa autorov:

Inž. Pavol Kristián, C. Sc., doc. inž. Kamil Antoš, C. Sc., doc. dr. inž. Štefan Kováč, C. Sc., Katedra organickej chémie SVŠT, Bratislava, Kollárovo nám. 2.